

ТЕХНОЛОГІЯ ВИРОБНИЦТВА СЕНСОРІВ

SENSORS PRODUCTION TECHNOLOGIES

УДК 621.315

ВЛИЯНИЕ ТЕРМООБРАБОТКИ НА ПАРАМЕТРЫ СОЛНЕЧНЫХ ЭЛЕМЕНТОВ nITO/pInP, ПОЛУЧЕННЫХ МЕТОДОМ ПИРОЛИТИЧЕСКОЙ ПУЛЬВЕРИЗАЦИИ

*A. V. Симашкевич¹, Д. А. Шербан¹, Л. В. Горчак²,
Л. И. Брук², А. В. Коваль², Ю. В. Усатый²*

1 — Институт прикладной физики АНМ,
ул. Академическая 5, MD 2028, Кишинев, Республика Молдова,
тел. (37322)738054, e-mail: Alexey.Simashkevich@phys.asm.md, serban@mail.md

2 — Госуниверситет Молдовы,
ул. Матеевича 60, MD 2009, Кишинев, Республика Молдова,
тел. (37322)577820, e-mail: lgorceac@usm.md, bruk@usm.md, acoval@usm.md, usaty1980@mail.ru

Аннотация

ВЛИЯНИЕ ТЕРМООБРАБОТКИ НА ПАРАМЕТРЫ СОЛНЕЧНЫХ ЭЛЕМЕНТОВ nITO/pInP, ПОЛУЧЕННЫХ МЕТОДОМ ПИРОЛИТИЧЕСКОЙ ПУЛЬВЕРИЗАЦИИ

A. V. Симашкевич, Д. А. Шербан, Л. В. Горчак, Л. И. Брук, А. В. Коваль, Ю. В. Усатый

В работе изучено влияние отжига в атмосфере водорода на параметры солнечных элементов, полученных пиролитической пульверизацией слоев ITO на монокристаллические подложки pInP при температуре 450°C. В результате проведенных исследований показано, что отжиг солнечных элементов In/nITO/pInP/Ag:Zn в H₂ при температуре 350°C в течении 10 мин ведет к значительному улучшению их фотоэлектрических свойств. Параметры солнечных элементов, полученных на подложках pInPc концентрацией носителей заряда $p=3 \cdot 10^{17} \text{ см}^{-3}$, после термообработки в H₂ достигают следующих значений: $V_{xx}=0,626 \text{ В}$, $I_{K3}=22,72 \text{ мА/см}^2$, FF=71%, к.п.д.=10,09%.

Ключевые слова: солнечный элемент, термообработка, слои ITO, пиролитическая пульверизация.

Анотація

ВПЛИВ ТЕРМООБРОБКИ НА ПАРАМЕТРИ СОНЯЧНИХ ЕЛЕМЕНТІВ nITO/pInP, ОТРИМАНИХ МЕТОДОМ ПІРОЛІТИЧНОЇ ПУЛЬВЕРИЗАЦІЇ

A. V. Симашкевич, Д. А. Шербан, Л. В. Горчак, Л. И. Брук, А. В. Коваль, Ю. В. Усатый

У роботі вивчений вплив відпалу в атмосфері водню на параметри сонячних елементів, отриманих піролітичною пульверизацією шарів ITO на монокристалічних підкладках pInP при температурі 450°C. В результаті проведених досліджень показано, що відпал сонячних

елементів In/nITO/pInP/Ag:Zn у H_2 при температурі 350°C протягом 10 хв. веде до значного поліпшення їхніх фотоелектричних властивостей. Параметри сонячних елементів, отриманих на підкладках pInP з концентрацією носіїв заряду $p=3 \cdot 10^{17} \text{cm}^{-3}$, після термообробки в H_2 досягають наступних значень: $V_{oc}=0,626\text{V}$, $I_{sc}=22,72\text{mA/cm}^2$, FF=71%, к.к.д.=10,09%.

Ключові слова: сонячний елемент, термообробка, шари ITO, піролітична пульверизація.

Abstract

THE INFLUENCE OF HEAT TREATMENT ON THE PARAMETERS OF nITO/pInP SOLAR CELLS, OBTAINED BY SPRAY PYROLITHIC METHOD

A. Simashkevich, D. Sherban, L. Gorceac, L. Bruk, A. Coval, Iu. Usatii

The influence of thermal treatment in H_2 on the parameters of In/nITO/pInP/Ag:Zn solar cells obtained by ITO layers pyrolytic pulverization have been investigated. The ITO/pInP heterostructures obtaining take place at the temperature of 450°C. As a result of these investigations it was shown that the thermal treatment of In/nITO/pInP/Ag:Zn SC in H_2 at 350°C during 10min leads to the considerable improvement of their photoelectric parameters. The photoelectric parameters of the best solar cell received on InP wafers with concentration $p=3 \cdot 10^{17} \text{cm}^{-3}$ after the thermal treatment are $V_{oc}=0,626\text{V}$, $I_{sc}=22,72\text{mA/cm}^2$, FF=71%, E_{ff}=10,09%.

Key words: solar cells, thermal treatment, ITO layers, pyrolytic pulverization.

Фосфид індія являється одним із найбільш подходящих матеріалів для ізготовлення сонячних елементів, так як його запрещенна зона соответствует енергии фотонов максимума спектрального излучения сонечной радиации, следовательно, можно получить наибольшую эффективность преобразования сонечной энергии в электрическую. Действительно, на основе InP уже изготовлены солнечные элементы с к.п.д., превышающим 20% [1]. Однако, из-за высокой стоимости базового материала, эти элементы не являются конкурентоспособными для наземного использования. Известно, что фосфид індія являється радиационностійким матеріалом и приборы на его основе, в частности солнечные элементы, могут работать в условиях жесткого ионизирующего излучения [2].

Снижение стоимости солнечных элементов может быть достигнуто за счет упрощения технологии их изготовления, например, изготовлением структур полупроводник-диэлектрик-полупроводник (ПДП) методом пиролитической пульверизации смеси окислов олова и індія (ITO) на поверхность кристаллов pInP [3-6]. Преимущество этого метода состоит в том, что он исключает из технологической цепочки высокотемпературные процессы диффузии или эпитаксии, необходимые для формирования

фронтального р-п перехода или гетероперехода в традиционных солнечных элементах. В случае ПДП структур потенциальный барьер, разделяющий фотогенерированные носители заряда, формируется на границе раздела ITO-InP, на которой в процессе нанесения слоя ITO образуется туннельно-прозрачный тонкий окисний слой.

В работе [6] было показано, что эффективность солнечных элементов ITO-pInP зависит от концентрации дырок в кристаллах pInP и от их кристаллографической ориентации. В частности, в случае использования кристаллов pInP с концентрацией $5,3 \cdot 10^{16} \text{cm}^{-3}$, ориентированных в плоскости (111)A, эффективность преобразования солнечной энергии в электрическую достигала только 5,3%. Как показали наши дальнейшие исследования, негативную роль в оптимизации фотоэлектрических параметров солнечных элементов этого типа играет высокое сопротивление контактов. В связи с этим, целью данной работы является изучение влияния термообработки структур ITO-pInP на фотоэлектрические параметры соответствующих солнечных элементов.

Структуры ITO-pInP получались методом пиролитической пульверизации спиртовых растворов хлоридов індія и олова в пропорції 10:1 на установке, описанной в [7]. Дисперги-

рующим газом служил кислород, температура подложки InP была 450°C , время напыления 60–80с, толщина слоев ITO 0,35–0,40мкм. Концентрация носителей заряда (электронов) в полученных слоях ITO была 10^{21}см^{-3} , их подвижность $\sim 30\text{см}^2/\text{Вс}$, что обеспечивает электрическую проводимость $4,8 \cdot 10^3 \Omega^{-1}\text{см}^{-1}$. В качестве подложек использовались монокристаллические пластины фосфида индия p-типа, ориентированные в кристаллографической плоскости (111)A, с концентрацией дырок $p=3 \cdot 10^{16}\text{см}^{-3}$ и $p=3 \cdot 10^{17}\text{см}^{-3}$ и подвижностью носителей заряда $115\text{см}^2/\text{В.с}$ и $100\text{см}^2/\text{В.с}$ соответственно. Омические контакты к pInP наносились термическим испарением в вакууме сплава, состоящего из 95%Ag и 5%Zn, на предварительно механически полированную тыльную поверхность фосфида индия. Фронтальная гребёнка контактов наносилась термическим испарением меди в вакууме. Схематическое изображение такой структуры приведено на Рис.1.

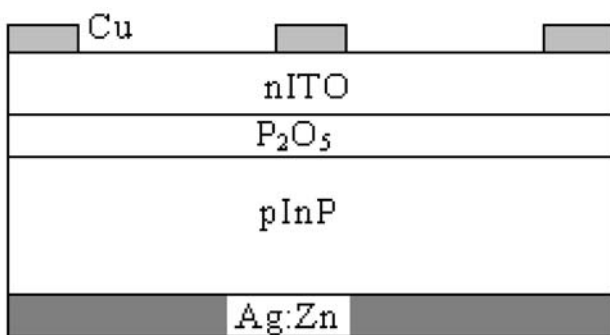


Рис. 1. Схематическое изображение солнечного элемента Cu/n⁺ITO/pInP/Ag:Zn

Тонкий диэлектрический слой с преиумущественным содержанием P₂O₅ на поверхности пластины фосфида индия, ориентированной в плоскости (111)A, образовывался во время формирования слоя ITO. Он был обнаружен при изучении границы раздела структуры ITO-pInP методом дифракции рентгеновских лучей. Толщина этого слоя, образованного окислением фосфора при нагреве до температуры 450°C пластины фосфида индия в течение времени формирования тонкого слоя ITO, равнялась 3–4нм. Изучение электрических и фотоэлектрических свойств полученных структур свидетельствовало, что диэлектрические слои являются туннельно-прозрачными для носителей заряда.

На полученных структурах Cu/n⁺ITO/pInP/

Ag:Zn при мощности падающего излучения 100мВт/см² изучались нагрузочные характеристики и спектральная чувствительность в вентильном режиме до и после отжига в атмосфере водорода при температуре 350°C в течение 10 минут. Такой режим термообработки был выбран следующим образом. Можно предположить, что основной вклад в оптимизацию фотоэлектрических параметров внесет уменьшение последовательного сопротивления изучаемой структуры и именно той ее части, которая обусловлена переходом металлический электрод — полупроводник. Для проверки этого предположения был изготовлен образец из пластины InP, используемой как базовая компонента исследуемых солнечных элементов, с металлическими контактами, полученными вакуумным напылением при комнатной температуре сплава Ag+5%Zn. Затем образец закреплялся в реакторе, помещенном в электрическую печь. Контакты образца подсоединялись к харктерографу типа Л2-56, позволяющему на экране видеть вольтамперную характеристику исследуемой структуры Ag+5%Zn/pInP/Ag+5%Zn. Создав в реакторе водородную атмосферу, подбирались условия термообработки при которых зависимость I-V была линейной и сопротивление перехода Ag+5%Zn/pInP наименьшим.

Измеренные нагрузочные вольтамперные характеристики представлены на Рис.2, из которого видно, что если до отжига в водороде солнечный элемент, полученный на основе InP с $p=3 \cdot 10^{16}\text{см}^{-3}$ и $\mu=115\text{см}^2/\text{Вс}$, имел следующие параметры: $V_{xx}=0,651\text{V}$, $J_{Kz}=18,12\text{mA}/\text{см}^2$, FF=58% и к.п.д.=6.84% (смотри Рис.2, кривая 1), то после отжига эти параметры улучшаются и становятся $V_{xx}=0,658\text{V}$, $J_{Kz}=20,13\text{mA}/\text{см}^2$, FF=58% и к.п.д.=7.68% (Рис.2, кривая 2).

Лучшие результаты были получены в случае солнечного элемента, изготовленного на монокристаллической пластине pInP с концентрацией носителей заряда $p=3 \cdot 10^{17}\text{см}^{-3}$ и подвижностью $\mu=100\text{см}^2/\text{Вс}$, для которого $V_{xx}=0,626\text{V}$, $J_{Kz}=22,72\text{mA}/\text{см}^2$, FF=0.71% и к.п.д.=10.09% (Рис.2, кривая 3), что значительно лучше, чем результаты, приведенные в [5] для аналогично-го солнечного элемента, не подвергнутого отжигу в водороде.

Из кривых спектральной чувствительности данных структур (Рис.3) видно, что область спектральной чувствительности охватывает

диапазон длин волн 470...950нм. Максимальная чувствительность наблюдается на длине волны ~ 870нм. Это указывает на то, что основной вклад в фоточувствительность вносит фосфид индия. Однако, отжиг структуры в водороде приводит к нежелательному уменьшению фоточувствительности в коротковолновой области спектра ($\lambda \sim 497$ нм) (Рис.3). Для выяснения механизма этого явления необходимо проведение дополнительных измерений.

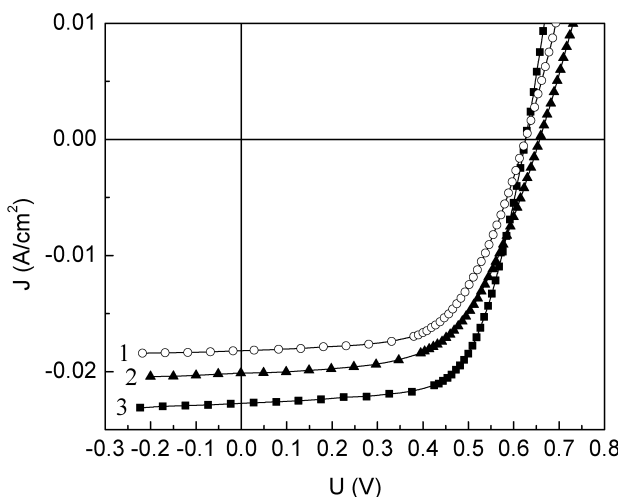


Рис. 2. Нагрузочные вольтамперные характеристики СЭ Cu/n⁺ITO/pInP/Ag:Zn. 1-до отжига в H₂; 2-после отжига в H₂; 3-с лучшими параметрами после отжига в H₂.

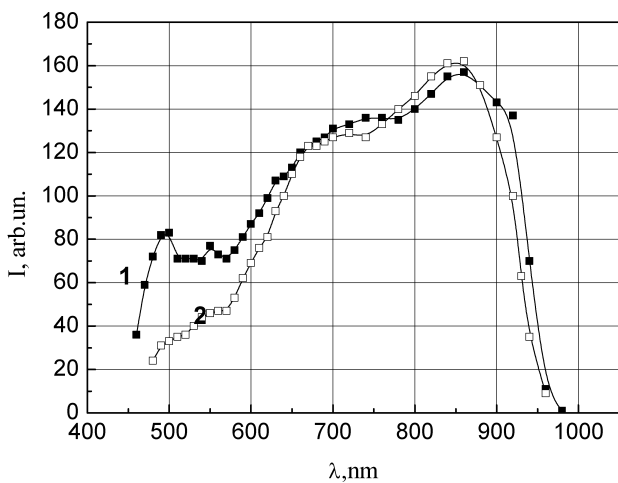


Рис. 3. Кривые спектральной чувствительности структур Cu/n⁺ITO/pInP/Ag:Zn. 1 — до отжига в H₂; 2 — после отжига в H₂.

В результате выполненных исследований показано, что простым методом пиролитической пульверизации слоев ITO на монокристаллические пластины InP, ориентированные в плоскости (111)A, можно получить солнечные элементы, эффективность которых после термообработки в водороде, превышает 10%.

Литература

1. Gessert T.A., Li X., Wanlass M.W. and Couts T.J., Progres in the ITO/InP Solar Cell //Second Int. Conf. Indium Phosphide and Related Materials. — Denver. — USA. — 1990. — P.260-264.
2. Botnaryuk V.M., Gorceak L.V., Grigorieva L.N., Simashkevich A.V., Radiation Degradation of Solar cells Based on InP-CdS Heterojunction //Solar Energy Materials. — v.20. — 1990. — P.359-365.
3. Adeeb N., Kretsu I., Sherban D., Sushkevich V., Simashkevich A., Spray deposited ITO-CdTe solar cells //Sol. Energy Mater. — vol. 15. — N1. — 1987. — P.9-19.
4. Do Quoc Hung, Bobeico E., Gorceac L., Sherban D., Simashkevich A., Solar Cells Based on SIS Structures //Proc. Of the Third Int. Workshop on Material Sciences. — Hanoi. — 1999. — part 1. — P.56-59.
5. Gagara L., Gorcheac L. Radu C. Sherban D. Simashkevich A., Photovoltaic Converters of Solar Energy on the Base of SIS Structures //Proc. of the Int. Conf. "Euro-Sun 96". — Munchen. — 1996. — V.2. — P.665-669.
6. Andronic I., Simashkevich A., Gagara L., Simashkevich A., InP Based Radiation Stable Slar Cells //Proc .of the 2nd World Conf. on PV Solar Energy Conversion. — Vienna. — 1998. — V.3. — P.3642-3645.
7. Simashkevich A., Sherban D., Bruk L., Bobeico E., Coval A., Fedorov V., Usatyi Iu., Spray Deposited ITO-nSi Solar Cells With Enlarged Area //Proc. of the 20 European PV Solar Energy Conf. — Barcelona. — 2005. — P.980-982.